



การออกแบบอุปกรณ์

3.1 การศึกษาความเหมาะสมในการใช้อุปกรณ์บังคับลำรังสีกระตุ้น (COLLIMATOR)

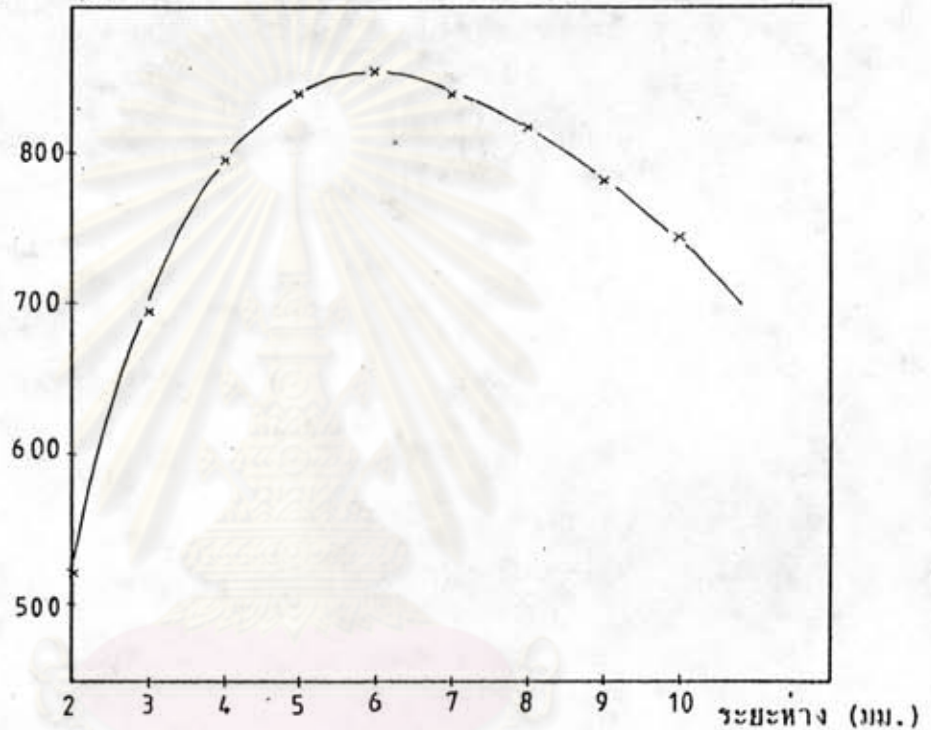
การเลือกวัสดุที่จะใช้เป็นอุปกรณ์บังคับลำรังสีกระตุ้นนั้น เป็นสิ่งที่ต้องศึกษา กล่าวคือ พลังงานรังสีเฉพาะธาตุนั้น เมื่อถูกกระตุ้นด้วยคาน่าเบ็ดรังสีกระตุ้นจะต้องไม่ไปรบกวนต่อระบบวิเคราะห์ อีกทั้งยังต้องมีความหนาแน่นพอสมควร ในการที่กระเจิง (SCATTER) รังสีกระตุ้นให้ทิศทางที่จะชนตัวอย่างด้วย วัสดุที่เลือกใช้เป็นอุปกรณ์บังคับลำรังสีกระตุ้น มี 4 ชนิดดังนี้ คือ

ชื่อ	ความหนาแน่น (กรัม/ลบ. ซม.)	สูตรเคมี
- อะคริลิก (ACRYLIC)	1.19	$\left[\begin{array}{c} \text{CH}_2 = \text{C} - \text{C} - \text{OCH}_3 \\ \quad \quad \quad \\ \text{CH}_3 \quad \quad \quad \text{O} \end{array} \right]$
- เทฟลอน (TEFLON)	2.14 - 2.17	$\left[\begin{array}{cc} \text{F} & \text{F} \\ & \\ \text{C} = & \text{C} \\ & \\ \text{F} & \text{F} \end{array} \right]$
- อะเซทัล (ACETAL)	1.43	$\left[\begin{array}{ccc} & \text{H} & \text{H} \\ & & \\ -\text{O} - & \text{C} & - \text{O} - \text{C} - \\ & & \\ & \text{H} & \text{H} \end{array} \right]$
- อะลูมิเนียม (ALUMINIUM)	2.71	$[\text{Al}]$

3.1.1 การหาระยะห่างระหว่างต้นกำเนิดรังสีกระตุ้นกับตัวอย่าง

จัดระยะห่างระหว่างต้นกำเนิดรังสีกระตุ้นซึ่งใช้ไอโซโทป $Cd-109$ กับตัวอย่างกระดาษกรองมาตรฐานที่มีปริมาณทองแดงอยู่ 50 ไมโครกรัม ตั้งแต่ 2 มม. จนถึง 10 มม. ดังรูป ค.8 ในภาคผนวก แล้วทำการวัดโดยใช้เวลา 100 วินาที ความสัมพันธ์ระหว่างจำนวนนับสุทธิของยอดพลังงาน $Cu-K\alpha$ ที่ระยะต่าง ๆ แสดงไว้ในรูปที่ 3.1

จำนวนนับสุทธิ/100 วินาที



รูปที่ 3.1 แสดงความสัมพันธ์ระหว่างจำนวนนับสุทธิของยอดพลังงาน $Cu-K\alpha$ กับระยะห่างระหว่างต้นกำเนิดรังสีกระตุ้นกับตัวอย่างต่าง ๆ กัน

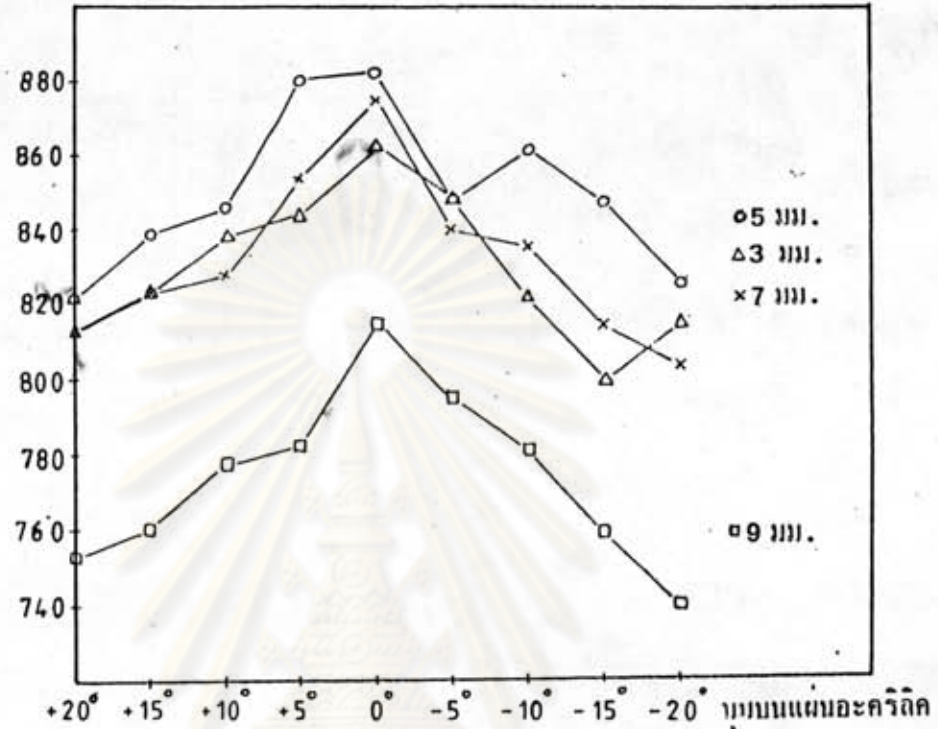
จากรูปที่ 3.1 เมื่อระยะห่างระหว่างต้นกำเนิดรังสีกระตุ้นกับตัวอย่างมากขึ้น ค่าจำนวนนับสุทธิของยอดพลังงาน $Cu-K\alpha$ ก็จะมีค่ามากขึ้น และจะมีค่ามากที่สุดที่ระยะ 6 มม. หลังจากนั้น เมื่อระยะห่างมากขึ้นไปอีก ค่าจำนวนนับสุทธิจะน้อยลง

3.1.2 การหาขนาดของอุปกรณ์ต้นกำเนิดรังสีกระตุ้น

ใช้แผ่นอะคริลิก เป็นอุปกรณ์ต้นกำเนิดรังสีกระตุ้น โดยให้แผ่นอะคริลิกอยู่ระหว่างต้นกำเนิดรังสีกระตุ้นกับตัวอย่าง ดังรูป ค.9 ในภาคผนวก แล้วทำการวัดตัวอย่างเดิม

โดยใช้เวลา 100 วินาที ความสัมพันธ์ระหว่างจำนวนนับสุทธิของยอดพลังงาน Cu-K α กับความหนาและค่ามุมของแผ่นอะคริลิค แสดงไว้ในรูปที่ 3.2

จำนวนนับสุทธิ/100 วินาที



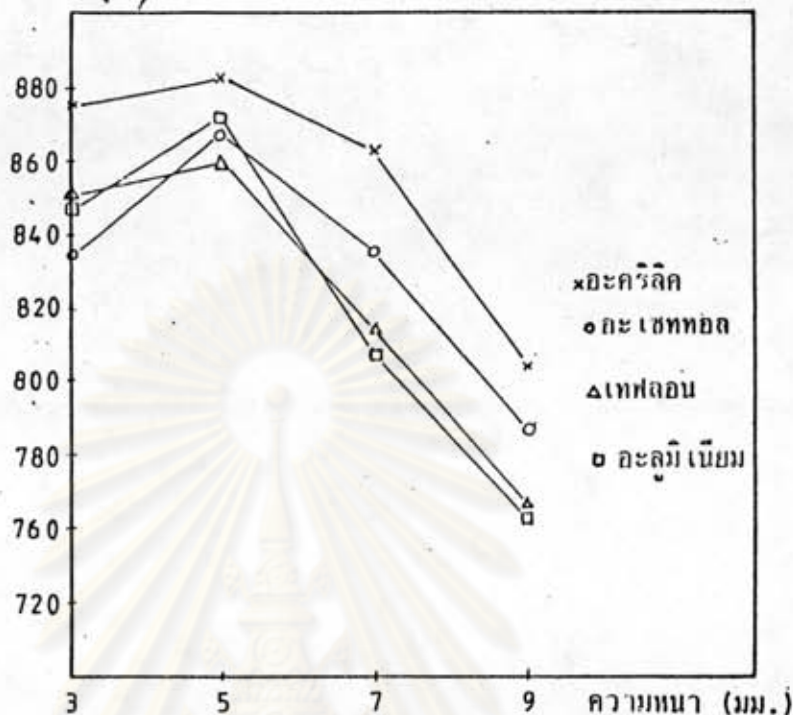
รูปที่ 3.2 แสดงความสัมพันธ์ระหว่างจำนวนนับสุทธิของยอดพลังงาน Cu-K α กับมุมของแผ่นอะคริลิค ที่ความหนาต่าง ๆ กัน

จากรูปที่ 3.2 ที่ความหนาเดียวกันของแผ่นอะคริลิค เมื่อค่ามุมเป็นบวกลดลง จำนวนนับสุทธิจะเพิ่มขึ้นและจะมีค่ามากที่สุดที่ค่ามุม 0 องศา และที่ความหนา 5 มม. จะให้จำนวนนับสุทธิมากที่สุด ลักษณะมุมต่าง ๆ ของแผ่นอะคริลิคแสดงไว้ในรูป ค.10 ในภาคผนวก

3.1.3 การเปรียบเทียบวัสดุที่ใช้เป็นอุปกรณ์บังคับลำรังสีกระตุ้น

ใช้แผ่นอะคริลิค อะเซทอล เทฟลอน และแผ่นอะลูมิเนียมเป็นอุปกรณ์บังคับลำรังสีกระตุ้น โดยมีมุมเท่ากับ 0 องศา แล้วทำการวัดตัวอย่างเดิมเป็นเวลา 100 วินาที ความสัมพันธ์ระหว่างจำนวนนับสุทธิของยอดพลังงาน Cu-K α กับความหนาต่าง ๆ กันของอุปกรณ์บังคับลำรังสีกระตุ้นต่างชนิดกัน แสดงไว้ในรูปที่ 3.3

จำนวนนับสัทธิต์/100 วินาที



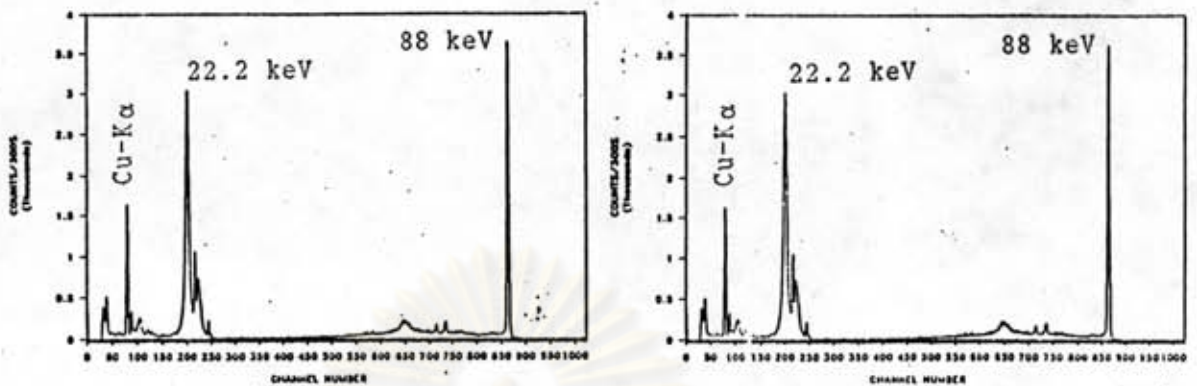
รูปที่ 3.3 แสดงความสัมพันธ์ระหว่างจำนวนนับสัทธิต์กับความหนาต่าง ๆ กันของอุปกรณ์บังคับลำรังสีกระตุ้น

จากรูปที่ 3.3 วัสดุทุกชนิดที่ใช้เป็นอุปกรณ์บังคับลำรังสีกระตุ้น จะให้จำนวนนับสัทธิต์ค่าสูงสุดที่ความหนา 5 มม.

จากหัวข้อ 3.1.1 ถึง 3.1.3 ได้ข้อสรุปว่า แผ่นอะคริลิกมมศูนย์องศา หนา 5 มม. ให้จำนวนนับสัทธิต์ของยอดพลังงาน $Cu-K\alpha$ มากที่สุดคือ 883 แต่ถ้านำมาเปรียบเทียบกับหัวข้อ 3.1.1 เมื่อไม่ได้ใช้อุปกรณ์บังคับลำรังสีกระตุ้นทางสถิติ ซึ่งได้จำนวนนับสัทธิต์ของยอดพลังงาน $Cu-K\alpha$ เท่ากับ 857 ดังนั้นถ้า $N =$ จำนวนนับสัทธิต์จะได้ว่า $\sqrt{N} =$ ค่าเบี่ยงเบน จะเห็นว่าค่า $883 \pm \sqrt{883}$ หรือ $883 \pm \sqrt{30}$ กับค่า $857 \pm \sqrt{857}$ หรือ $857 \pm \sqrt{29}$ ไม่มีความแตกต่างกันเลย ดังนั้น เครื่องวิเคราะห์รังสีเอกซ์เรื่องด้วยต้นกำเนิดรังสีกระตุ้นแบบซีไอโซโทป จะไม่ใช้อุปกรณ์บังคับลำรังสีกระตุ้นแต่จะจัดให้ระยะห่างระหว่างต้นกำเนิดรังสีกระตุ้นกับตัวอย่างเท่ากับ 6 มม.

014306

i.10600548



รูปที่ 3.4 แสดงการเปรียบเทียบสเปกตรัมของยอดพลังงาน Cu-K α ซึ่งใช้ Cd-109 เป็นต้นกำเนิดรังสีกระตุ้น รูปทางซ้ายมือไม่มีอุปกรณ์บังคับลำรังสีกระตุ้นแต่ระยะห่างระหว่างต้นกำเนิดรังสีกระตุ้นกับตัวอย่างเท่ากับ 6 มม. ส่วนรูปทางขวามือใช้แผ่นอะคริลิกหนา 5 มม. มุมศูนย์ของตัวเป็นอุปกรณ์บังคับลำรังสีกระตุ้น ซึ่งจะเห็นว่าสเปกตรัมทั้งสองรูปไม่มีความแตกต่างซึ่งกันและกัน

3.2 การออกแบบจานใส่ต้นกำเนิดรังสีกระตุ้น

ใช้อะลูมิเนียม เป็นวัสดุ เนื่องจากพลังงานรังสีเอกซ์เฉพาะธาตุของอะลูมิเนียม ไม่รบกวนต่อระบบวิเคราะห์ อีกทั้งยังมีน้ำหนักเบาและเกิดการกีดกร่อนในบรรยากาศน้อยมาก การเปลี่ยนต้นกำเนิดรังสีกระตุ้นโดยใช้ปากคืบใส่ลงไปในจานนั้น ทำได้อย่างมั่นคงและสะดวก เนื่องจากมีร่องด้านข้างสำหรับจับต้นกำเนิดรังสีกระตุ้นได้ การก้ำกักรังสีในส่วนของจานใส่ต้นกำเนิดรังสีกระตุ้น มีเกราะก้ำกักรังสีด้านข้าง ทำด้วยตะกั่วเป็นรูปวงแหวนหนา 7 มม. ลึก 7 มม. ล้อมรอบต้นกำเนิดรังสีแบบไอโซโทปวงแหวน เพื่อป้องกันไม่ให้รังสีกระตุ้นทะลุผ่านออกไปทางด้านข้าง ซึ่งจะไปรบกวนต่อระบบวิเคราะห์ได้ ดังแสดงในรูป ค.11 และ ค.16 ในภาคผนวก

3.3 การออกแบบเกราะก้ำกักรังสีด้านบนและด้านล่าง

การใช้ไอโซโทปวงแหวนเป็นต้นกำเนิดรังสีกระตุ้นสัไอโซโทปนั้น มีความจำเป็นที่จะต้องก้ำกักรังสีไอโซโทปที่ยังไม่ได้ใช้งานอีก 3 ไอโซโทป เพื่อไม่ให้รังสีกระตุ้นจาก

ไอโซโทปเหล่านี้ไปรบกวนต่อระบบวิเคราะห์และเป็นอันตรายต่ออุปกรณ์ใช้งาน จากการคำนวณไม่สามารถนำมาใช้งานได้ เพราะความหนาของตะกั่วที่ใช้ทำกำบังรังสีบางเกินไป ไม่สามารถป้องกันรังสีกระตุ้นจากตัวกำเนิดรังสีกระตุ้นเหล่านี้ได้ ยังคงเข้าไปรบกวนต่อระบบวิเคราะห์ จึงพิจารณาใช้ความหนาของตะกั่วส่วนที่เป็นฝาปิดปิดของภาชนะที่ใช้บรรจุตัวกำเนิดรังสีไอโซโทป ซึ่งมีความหนาเท่ากับ 10 มม. เป็นความหนาของตะกั่วที่ใช้ทำเป็นเกราะกำบังรังสีด้านบนและด้านล่าง และเพื่อเพิ่มประสิทธิภาพในการกำบังรังสีทั้งเกราะกำบังรังสีด้านบนและด้านล่างจึงออกแบบให้มีขอบขึ้นมารับกับตัวกำเนิดรังสีกระตุ้นและงานใส่ตัวกำเนิดรังสีกระตุ้นดังในรูป ค.11 ในภาคผนวก

เนื่องจากพลังงานรังสีกระตุ้นของไอโซโทป Am-241 (60 keV) และ Co-57 (122 keV และ 136 keV) มีพลังและความเข้มสูงทำให้ส่วนหนึ่งของรังสีกระตุ้นนี้ทะลุผ่านด้านล่างของตัวถังของตัวกำเนิดรังสีกระตุ้นเข้าสู่หัววัดรังสีโดยตรง ทำให้ภาคขยายส่วนหน้าเกิดการซัดไซไม่สามารถวัดได้ และปริมาณของรังสีที่สะท้อนเข้าสู่หัววัดรังสีขณะกำลังวัดรังสีนั้นจะทำให้ค่าเดดไทม์ (DEAD TIME) สูง เพื่อเป็นการแก้ปัญหานี้ ได้ออกแบบวางแหวนทองแดงซึ่งมีขนาดเส้นผ่าศูนย์กลางใน 10 มม. ซ้อนอยู่ในวงแหวนตะกั่วซึ่งมีขนาดเส้นผ่าศูนย์กลางในและนอก 22.5 และ 38 มม. ตามลำดับ ดังแสดงในรูป ค.12 ใช้นับ Am-241 ซึ่งจะให้ค่าเดดไทม์ประมาณ 8 % และวงแหวนตะกั่วซึ่งมีขนาดเส้นผ่าศูนย์กลางในและนอก 10 และ 38 มม. ตามลำดับ ดังแสดงในรูป ค.12 ในภาคผนวก ใช้นับกับ Co-57 ซึ่งจะให้ค่าเดดไทม์ประมาณ 11 %

3.4 การออกแบบจานเปลี่ยมตัวกำเนิดรังสีกระตุ้น

ใช้อะลูมิเนียมเป็นวัสดุและจุดสำคัญของการออกแบบคือ ระยะห่างระหว่างจุดศูนย์กลางของตัวกำเนิดรังสีกระตุ้นจะต้องห่างกันเพียงพอ โดยที่รังสีกระตุ้นจากตัวกำเนิดรังสีกระตุ้นอื่น ๆ ไม่ไปรบกวนต่อระบบวิเคราะห์

3.4.1 การหาระยะห่างระหว่างจุดศูนย์กลางของตัวกำเนิดรังสีกระตุ้น

ใช้ Cd-109 และ Am-241 เป็นตัวกำเนิดรังสีกระตุ้น แล้วทำการนับโดยไม่มีตัวกรองวิเคราะห์ตามลำดับ บันทึกหมายเลขช่องที่เป็นยอดพลังงาน 22.2 keV กับ 88 keV ซึ่งเป็นพลังงานกระตุ้นของ Cd-109 และยอดพลังงาน 60 keV ซึ่งเป็นพลังงานกระตุ้นของ Am-241 จากนั้นใช้ Fe-55 (เหล็ก-55) เป็นตัวกำเนิดรังสีกระตุ้นแล้วนำ Cd-109 และ Am-241 ซึ่งมีเกราะกำบังรังสีด้านบนและด้านล่างประกบอยู่ มาวางขนานข้าง Fe-55 ให้จุดศูนย์กลางทั้ง 3 อยู่ในแนวเดียวกัน โดยจัดระยะห่างของจุด

ศูนย์กลางจาก Fe-55 เท่ากันทั้งสองข้าง (ระยะ d) เท่ากับ 90 มม. (ระยะน้อยที่สุดที่งานใช้ต้นกำเนิดรังสีกระตุ้นชนกันพอดี เท่ากับ 88 มม.) ตามรูป ค.13 ในภาคผนวก ทำการวัด 100 วินาที แล้วนับที่จำนวนนับจริงตามหมายเลขช่องที่นับที่กไว้แล้ว เลื่อนระยะ d ออกไปครึ่งละ 5 มม. จนกว่าจะอ่านจำนวนนับจริงได้ในระดับแบบควรวาดตั้ง 3 หมายเลขช่อง ได้ค่าดังตารางที่ 7 ในภาคผนวก ซึ่งจะพบว่าระยะห่าง (d) เท่ากับ 125 มม. ได้จำนวนนับจริงที่ยอดพลังงาน 22.2 keV เท่ากับ 8 ที่พลังงาน 88 keV เท่ากับ 10 และที่พลังงาน 60 keV เท่ากับ 18 ซึ่งสามารถประมาณได้ว่าอยู่ในระดับแบบควรวาด

3.4.2 การหาขนาดของงาน เปลี่ยนต้นกำเนิดรังสีกระตุ้น

จากหัวข้อ 3.4.1 ระยะห่างระหว่างจุดศูนย์กลางของต้นกำเนิดรังสีกระตุ้น เท่ากับ 125 มม. จากการคำนวณที่เหมาะสมและสอดคล้องกับงานใช้ต้นกำเนิดรังสีกระตุ้น 4 งาน ได้ข้อมูลดังนี้ คือ

ระยะห่างระหว่างจุดศูนย์กลางของต้นกำเนิดรังสีกระตุ้นกับจุดศูนย์กลางของงาน เปลี่ยนต้นกำเนิดรังสีกระตุ้นกับ 88 มม.

ระยะห่างระหว่างจุดศูนย์กลางของต้นกำเนิดรังสีกระตุ้น เท่ากับ 124.5 มม.

ขนาดเส้นผ่าศูนย์กลางของงาน เปลี่ยนต้นกำเนิดรังสีกระตุ้น เท่ากับ 276 มม. ดังแสดงในรูป ค.16 ในภาคผนวก

3.5 การออกแบบงาน เปลี่ยนตัวอย่าง

ข้อมูล เบื้องต้น เป็นวัสดุและจุดสำคัญในการออกแบบคือ ระยะห่างระหว่างจุดศูนย์กลางของตัวอย่างจะต้องห่างกันเพียงพอที่พลังงานรังสีเอกซ์ เฉพาะธาตุของตัวอย่างใกล้เคียงจะเข้าไปรบกวนต่อระบบวิเคราะห์

3.5.1 การหาระยะห่างระหว่างจุดศูนย์กลางของตัวอย่าง

ใช้ไอโซโทป Cd-109 เป็นต้นกำเนิดรังสีกระตุ้นและใช้ Co (โคบอลต์) As (สารหนู) และ Nb (ไนโอเบียม) ทำการนับแต่ละตัวอย่างครึ่งละ 100 วินาที แล้วนับที่หมายเลขช่องที่เป็นยอดพลังงานของแต่ละธาตุไว้ ดังแสดงไว้ตารางที่ 6 ในภาคผนวก นำ Co และ As มาวางไว้ทั้ง 2 ด้าน ของ Nb ให้จุดศูนย์กลางของตัวอย่างทั้ง 3 ธาตุ อยู่ในแนวเดียวกัน ดังแสดงในรูป ค.14 ในภาคผนวก โดยให้ระยะห่างระหว่างจุดศูนย์กลางของตัวอย่าง (ระยะ d) เท่ากับ 65 70 และ 75 ตามลำดับ ทำการวัดตัว

อย่างครึ่งละ 100 วินาที แล้วบันทึกจำนวนนับจริงตามหมายเลขช่องที่บันทึกไว้แล้ว ดังแสดงในตารางที่ 8 ในภาคผนวก จะได้ว่าระยะ d ที่เพิ่มขึ้นจาก 65 เป็น 70 และ 75 มม. นั้น ไม่มีความแตกต่างของจำนวนนับจริงของแต่ละหมายเลขช่อง แสดงว่าระยะ d เท่ากับ 65 มม. เป็นระยะห่างจุดศูนย์กลางของตัวอย่างที่เพียงพอแล้ว

3.5.2 การหาขนาดของจานเปลี่ยนตัวอย่าง

จากหัวข้อ 3.5.1 ได้ระยะห่างระหว่างจุดศูนย์กลางของตัวอย่าง เท่ากับ 65 มม. จากการคำนวณที่เหมาะสมและสอดคล้องกับตัวอย่าง 8 ตัวอย่าง ได้ข้อมูลดังนี้คือ ระยะห่างระหว่างจุดศูนย์กลางของตัวอย่างกับจานเปลี่ยนตัวอย่าง เท่ากับ 95 มม.

ระยะห่างระหว่างจุดศูนย์กลางของตัวอย่างเท่ากับ 72.2 มม. (โดยการวัดระยะห่างระหว่างจุดศูนย์กลางของตัวอย่างของเครื่อง XR-500 ที่โรงไฟฟ้าแม่เมาะ วัดระยะห่างได้เท่ากับ 45 มม.)

ขนาดเส้นผ่าศูนย์กลางของจานเปลี่ยนตัวอย่างเท่ากับ 276 มม. ดังแสดงในรูป ค.15 ในภาคผนวก

ศูนย์วิทยทรัพยากร
จุฬาลงกรณ์มหาวิทยาลัย